

日本大学工学部 正員 安田 禎輔  
 〃 〃 藤田 龍之  
 学生員 山下 篤樹

まえがき 開水路や管路の流れの中に障害物の有る場合の流れの一つとして、群杭間隙内の流れを考えることができる。杭本数を多くし杭密度を大きくし、間隙を小さくした場合の流れは透水の一種と考えることができる。前報までにおいて、我々は球形粒子層をはじめ砂利層、砂層などの透水について報告してきた。しかし、これらの粒子をきちんと予期した間隙に詰めることや、間隙比を大幅に変えて語ることは困難である。したがって、従来より透水係数に対する間隙の影響は、まだ明確にされていない。この間隙の透水係数に及ぼす影響を調べるのも、本研究に着手した一つの理由である。

第15回日本大学工学部学術研究報告会において、安田は群杭間隙内の平均流速式を、透水や管路の場合と同様に、レイノルズ数 $Re$ と抵抗係数 $\zeta$ との間に $\zeta \propto Re^{-m}$ なる関係が成立するものと仮定し、理論的に誘導した。本報においては、これらの理論の概略を述べ、前記誘導仮定の正しいことを実証し、理論式が成立することを示す。

S-1 潤辺および径深

潤辺 $S$ および径深 $R$ は、群杭間隙内の流れにおいても、普通の水路の場合に準じて定義し、平均的取扱いとし、杭配列は碁盤目打ちI、IIおよび千鳥打ちの三種とする。

$e$  : 間隙比  $d_m$  : 代表杭径  $N$  : 杭本数  $N=(m-1)(n-1)$

$V_s$  : 杭の全体積  $V_s=(m-1)(n-1)\pi d_m^2 h/4$

$V_v$  : 間隙体積  $V_v=(m-1)(n-1)(4\lambda\lambda'-\pi d_m^2)/4h$

$A_v$  : 平均間隙断面積  $\bar{A}_s$  : 杭表面積の合計  $\bar{A}'_s$  : 側壁面積

とおけば  $e = \frac{4\lambda\lambda' - \pi d_m^2}{\pi d_m^2}$  となり、また

$$\bar{A}_s = (m-1)(n-1)\pi d_m h$$

$$\bar{A}'_s = (m-1)(n-1)(2\lambda\lambda' - \pi d_m^2/2) + (m-1)(2\lambda h - h d_m \{0.1, 2\})$$

上式中の $\{0.1, 2\}$ は、群杭配列により、碁盤目打ちI又はIIの場合には $\{ \} = 0$ 又は $2$ 、千鳥打ちの場合には $\{ \} = 1$ となる。したがって

$$S = (m-1)(2\pi d_m h + 4\lambda\lambda' - \pi d_m^2) / (2\lambda + 2h - h d_m \{0.1, 2\})$$

$$A_v = V_v / L = (m-1)(4\lambda\lambda' - \pi d_m^2) h / (4\lambda L)$$

ゆえに  $R = \frac{1}{4\alpha} e d_m$  ,  $\alpha = 1 + \frac{d_m}{2h} e + \frac{d_m}{2B} (1+e) - \frac{\lambda'}{\pi B} \{0.1, 2\}$

$N$ が大きく、壁面の影響を無視できる場合には $\alpha = 1$ となる。

S-2 抵抗係数 群杭間隙内の抵抗 $\zeta$ を一般の水路の場合と同様に、 $\zeta = \zeta_0 \rho v^2 / 2$ と仮定し、流れ方向 $l$ 区間の釣合の条件より、抵抗係数 $\zeta_0$ の一般式が決まる

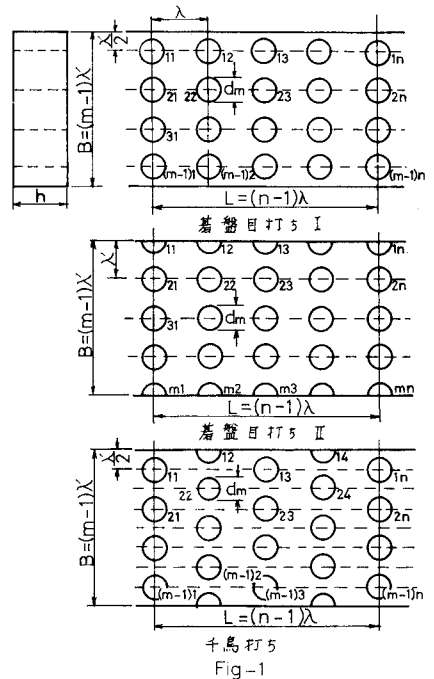
$$\zeta_0 = R \frac{2g}{v} I = \frac{e}{4} \frac{1}{\alpha} \frac{2g d_m}{v^2} I = \frac{e}{2} \frac{1}{\alpha} \frac{1}{F_r^2} I \quad \text{----- (1)}$$

S-3 理論的考察 群杭間隙内の流れを規定するものとしては、つぎのようなものが考えられる。

$v$  ; 流速  $e$  ; 間隙比  $l$  ; 水路長  $\mu$  ; 水の粘性係数  $\nu$  ; 杭の混合係数  $C_M$  ; 杭の形状係数  $C_S$  ; 水温  $\Delta P$  ; 圧力差  $\rho$  ; 水の密度  $g$  ; 重力の加速度  $d_m$  ; 杭の代表直径  $C_p$  ; 杭の配列係数

これらの要素の関係を

$$f(v, \Delta P, l, d_m, \mu, g, \rho, (e, \lambda, e, \nu, C_p) = 0$$



とあき、Buckinghamのπ定理により次式を得る、

$$C_s = \frac{e d_m}{2\alpha} \phi'(Re, Fr, \frac{h}{d_m}, e, \eta, C_k, C_p)$$

ただし、 $Re = \frac{v d_m}{\nu}$ ,  $Fr = \frac{v}{\sqrt{g d_m}}$

Fig-2は、群杭間隙内の流れにおける $Re$ と $C_s$ との測定値であり、両対数方眼紙上で直線分布している。したがって、 $Re$ と $C_s$ の関係は、 $K$ を定数として、 $C_s = K Re^{-m}$ となる。この関係と上式とより

$$C_s = Re^{-m} \frac{e d_m}{2\alpha} \phi'(Fr, \frac{h}{d_m}, e, \eta, C_k, C_p)$$

ここで  $K = \frac{e d_m}{2\alpha} \phi''$

は、 $e$ や $d_m$ に左右されず、 $e, \eta, C_k$ および $C_p$ のみに関係するので、 $K$ は次式で表わせる。

$$K = \frac{e}{2\alpha} \phi''(e, \eta, C_k, C_p)$$

$$\therefore C_s = Re^{-m} \frac{e}{2\alpha} \phi'' \quad \text{----- (2)}$$

(1), (2)式より $v$ を求めると次式となる。

$$v = \phi \frac{g^{m'}}{\nu^{1/(m'-1)}} d_m^{n'} I^{m'}$$

ここで  $\phi = (2-m) \sqrt{\frac{1}{\rho^{m'}}$ ,  $m' = \frac{1}{2-m}$ ,  $n' = \frac{1+m}{2-m}$

$\phi$ は $e, \eta, C_k, C_p$ の関数であるが、 $\eta, C_k, C_p$ の明確な定義はまだ行なっていない。これらの三つの要素の値は、杭の配列や形状、混合状態を定めれば、或定まった係数と考えられる。したがって $\phi$ 関数は、次式のようにおくことができる。

$$\phi = \eta C_k C_p f(e)$$

ゆえに平均流速 $v$ は次式となる。

$$v = \eta C_k C_p \frac{g^{m'}}{\nu^{1/(m'-1)}} f(e) d_m^{n'} I^{m'} \quad \text{----- (3)}$$

$$n' = 3m' - 1$$

#### §-4 実験結果と考察

実験に使用した群杭装置は、 $\lambda = 1cm$ ,  $\lambda' = 2cm$

$m = 8, n = 61, d = 1.00, 1.24cm, B = 14cm, h = 9cm, L = 120cm$ であり、かつFig-1に示した千鳥打ちの側壁の二つ割り杭のない杭配列であるから、計算式は§-1に示した諸式を補正し、

$$N = (m-1.5)(n-1), Av = hB + \pi d m^2 h (3-2m)/8\lambda, e = \frac{4\lambda\lambda' - (1-\beta)\pi d m^2}{(1-\beta)\pi d m^2}, \beta = 1/2(m-1)$$

$$S' = S + \pi d m (d_m - 2h)/4\lambda + h d m/\lambda, R = Av/S' \quad \text{を使用した。}$$

Fig-3は、 $135 < Re < 2920, d_m = 1.00cm$ および $340 < Re < 4180, d_m = 1.24cm$ の場合の $v$ と $I$ の実測値であり、直線分布している。したがって $v$ と $I$ の関係は、 $v = \beta' I^{m'}$ で示され、 $m'$ の平均値として $m' = 0.589$ を得た。

$\beta'$ と $d_m$ の関係は、実験の種類が少ないため測定値より直接求められなかったが、(3)式 $n = 3m - 1$ より $n'$ を計算し

$d_m = 1.00cm, 135 < Re < 2920, e = 1.742$  に対して

$$v = 62.76 d_m^{0.741} I^{0.589}$$

$d_m = 1.24cm, 340 < Re < 4180, e = 0.783$  に対して

$$v = 39.61 d_m^{0.774} I^{0.589}$$

を得た。Fig-3に、これらの実験式によるグラフを実線で示した。

<参考文献>

安田補輔：群杭間隙内の流れに関する研究(I) 第15回日大工学部学術講演会予稿集、昭和47年12月

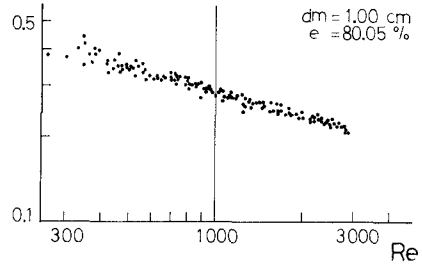
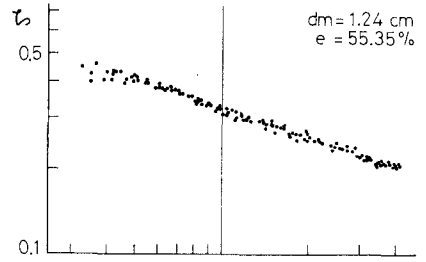


Fig-2 千鳥配列  $Re - C_s$

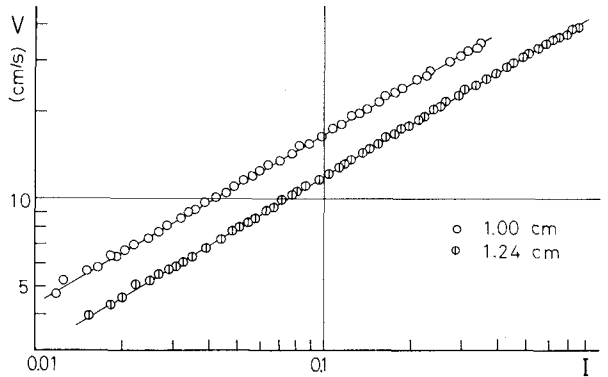


Fig-3; 千鳥配列  $I - v$